

# International Nonproprietary Names for Pharmaceutical Substances (INN)

## RECOMMENDED International Nonproprietary Names: List 57

Notice is hereby given that, in accordance with paragraph 7 of the Procedure for the Selection of Recommended International Nonproprietary Names for Pharmaceutical Substances [Off. Rec. Wld Health Org., 1955, **60**, 3 (Resolution EB15.R7); 1969, **173**, 10 (Resolution EB43.R9)], the following names are selected as Recommended International Nonproprietary Names. The inclusion of a name in the lists of Recommended International Nonproprietary Names does not imply any recommendation of the use of the substance in medicine or pharmacy.

Lists of Proposed (1–91) and Recommended (1–52) International Nonproprietary Names can be found in *Cumulative List No. 11, 2004* (available in CD-ROM only).

## Dénominations communes internationales des Substances pharmaceutiques (DCI)

## Dénominations communes internationales RECOMMANDÉES: Liste 57

Il est notifié que, conformément aux dispositions du paragraphe 7 de la Procédure à suivre en vue du choix de Dénominations communes internationales recommandées pour les Substances pharmaceutiques [Actes off. Org. mond. Santé, 1955, **60**, 3 (résolution EB15.R7); 1969, **173**, 10 (résolution EB43.R9)] les dénominations ci-dessous sont choisies par l'Organisation mondiale de la Santé en tant que dénominations communes internationales recommandées. L'inclusion d'une dénomination dans les listes de DCI recommandées n'implique aucune recommandation en vue de l'utilisation de la substance correspondante en médecine ou en pharmacie.

On trouvera d'autres listes de Dénominations communes internationales proposées (1–91) et recommandées (1–52) dans la *Liste récapitulative No. 11, 2004* (disponible sur CD-ROM seulement).

## Denominaciones Comunes Internacionales para las Sustancias Farmacéuticas (DCI)

## Denominaciones Comunes Internacionales RECOMENDADAS: Lista 57

De conformidad con lo que dispone el párrafo 7 del Procedimiento de Selección de Denominaciones Comunes Internacionales Recomendadas para las Sustancias Farmacéuticas [Act. Of. Mund. Salud, 1955, **60**, 3 (Resolución EB15.R7); 1969, **173**, 10 (Resolución EB43.R9)], se comunica por el presente anuncio que las denominaciones que a continuación se expresan han sido seleccionadas como Denominaciones Comunes Internacionales Recomendadas. La inclusión de una denominación en las listas de las Denominaciones Comunes Recomendadas no supone recomendación alguna en favor del empleo de la sustancia respectiva en medicina o en farmacia.

Las listas de Denominaciones Comunes Internacionales Propuestas (1–91) y Recomendadas (1–52) se encuentran reunidas en *Cumulative List No. 11, 2004* (disponible sólo en CD-ROM).

**Latin**, English, French, Spanish:  
Recommended INN

Chemical name or description; Molecular formula; Graphic formula

**DCI Recommandée**

Nom chimique ou description; Formule brute; Formule développée

**DCI Recomendada**

Nombre químico o descripción; Fórmula molecular; Fórmula desarrollada

**abagovomabum\***  
abagovomab

immunoglobulin G1, anti-idiotype anti-[anti-(*Homo sapiens* cancer antigen 125, CA 125, MUC-16) *Mus musculus* monoclonal antibody OC125] *Mus musculus* monoclonal antibody ACA125, clone 3D5 gamma1 heavy chain disulfide with clone 3D5 kappa light chain; (223-223":226-226":228-228") trisdisulfide dimer

abagovomab

immunoglobuline G1, anti-idiotype anti-[anti-(*Homo sapiens* cancer antigen 125, CA 125, MUC-16) anticorps monoclonal murin OC125] anticorps monoclonal murin ACA125, chaîne lourde gamma1 du clone 3D5 unie par un pont disulfure à la chaîne légère kappa du clone 3D5; dimère (223-223":226-226":228-228")-trisdisulfure

abagovomab

inmunoglobulina G1, anti-idiotipo anti-[anti-(*Homo sapiens* cancer antigénico 125, CA 125, MUC-16) anticuerpo monoclonal murino OC125] anticuerpo monoclonal murino ACA125, cadena pesada gamma1 del clon 3D5 unida por un puente disulfuro a la cadena ligera kappa del clon 3D5; dímero (223-223":226-226":228-228")-trisdisulfuro

Heavy chain/Chaîne lourde/Cadena pesada

QVQLQESGAE	LARPGASVKL	SCKASGYTFT	NYWMQWVKQR	PGQGLDWIGA	50
IYPGDNTRY	THKFKGKATL	TADKSSSTAY	MOLSSLASED	SGVYYCARGE	100
GNYAWFAYWG	QGTIVTVSSA	KTTPPSVYPL	APGSAAQTNS	MVTLGCLVKG	150
YFPEPVTVW	NGSGLSSGVH	TPPAVLQSDL	YTLSSSVTVP	SSTWPSETVT	200
CNVAHPASST	KVDKKIVPRD	CGCKPCICTEV	PEVSSVFIFP	PKPKDVLTIT	250
LTPKVTCVV	DISKDPPEVQ	FSWFVDDTVEV	HTAQTPREE	QFNSTFRSVS	300
ELPIIMHQDWL	NGKEFKCRVN	SAAFPAPIEK	TISKTKGRPK	APQVYTIPPP	350
KEQMAKDVKVS	LTCMIDTFPP	EDITVEWQWN	GQPAENYKNT	QPIMDTDGSY	400
FVYSKLNQK	SNWEAGNTFT	CSVLHEGLHN	HHTEKSLSHS	PGK	443

Light chain/Chaîne légère/Cadena ligera

AKTLAGGVSS	LSASVGETVT	ITCQASENIY	SYLAWHQQKQ	GKSPQLLVYN	50
RFGSGSGTH	RFGSGSGTH	FSLKIKSLQP	EDFGIYYCQH	HYGILPTFGG	100
GTKLEIKRAD	AAPTVSIFPP	SSEQLTSGGA	SVCFLNNFY	PKDINVWKI	150
DGSERQNGVL	NSWTDQDSKD	STYSMSSTLT	LTKDEYERHN	SYTCEATHKT	200
STSPIVKSFN	RNEC				214

**acidum iodofilticum (123I)**  
iodofiltic acid (123I)

(3RS)-15-[4-[123I]iodophenyl]3-methylpentadecanoic acid

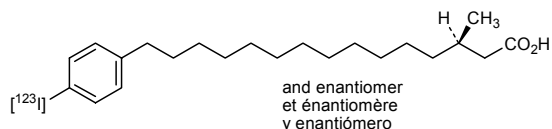
acide iodofiltique (123I)

acide (3RS)-15-(4-[123I]iodophényl)-3-méthylpentadécanoïque

ácido iodofiltico (123I)

ácido (3RS)-15-(4-[123I]iodofenil)-3-metilpentadecanoico

C<sub>22</sub>H<sub>35</sub><sup>123</sup>IO<sub>2</sub>

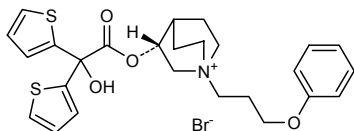


**aclidinii bromidum**  
aclidinium bromide(3*R*)-3-[(hydroxy)di(thiophen-2-yl)acetyloxy]-1-(3-phenoxypropyl)-  
1*λ*-azabicyclo[2.2.2]octan-1-ylium bromide

bromure d'aclidinium

bromure de (3*R*)-3-[[hydroxybis(thiophén-2-yl)acétyl]oxy]-  
1-(3-phénoxypropyl)-1-azoniabicyclo[2.2.2]octane

bromuro de aclidinio

bromuro de (3*R*)-1-(3-fenoxipropil)-3-[(hidroxi)di(tiofen-2-il)acetiloxy]-  
1*λ*-azabiciclo[2.2.2]octan-1-ilioC<sub>26</sub>H<sub>30</sub>BrNO<sub>4</sub>S<sub>2</sub>**afimoxifenum**  
afimoxifene

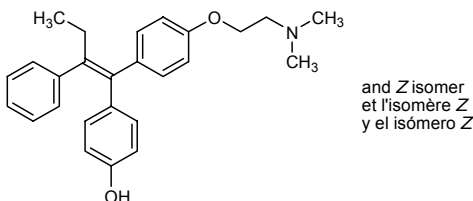
4-(1-[4-[2-(dimethylamino)ethoxy]phenyl]-2-phenylbut-1-enyl)phenol

afimoxifène

4-[1-[4-[2-(diméthylamino)éthoxy]phényl]-2-phénylbut-1-ényl]phénol

afimoxifeno

4-[1-[4-[2-(dimetilamino)etoxi]fenil]-2-fenilbut-1-enil]fenol

C<sub>26</sub>H<sub>29</sub>NO<sub>2</sub>**afliberceptum\***  
aflibercept

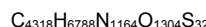
des-432-lysine-[human vascular endothelial growth factor receptor 1-(103-204)-peptide (containing Ig-like C2-type 2 domain) fusion protein with human vascular endothelial growth factor receptor 2-(206-308)-peptide (containing Ig-like C2-type 3 domain fragment) fusion protein with human immunoglobulin G1-(227 C-terminal residues)-peptide (Fc fragment)], (211-211':214-214')-bisdisulfide dimer

aflibercept

(211-211':214-214')-bisdisulfure du dimère de la dés-432-lysine-[récepteur 1 humain du facteur de croissance endothéial vasculaire-(103-204)-peptide (contenant le domaine Ig-like C2-type 2) protéine de fusion avec le récepteur 2 humain du facteur de croissance endothéial vasculaire-(206-308)-peptide (contenant un fragment du domaine Ig-like C2-type 3) protéine de fusion avec l'immunoglobuline G1 humaine-(227 résidus C-terminaux)-peptide (fragment Fc)]

## afibercept

(211-211':214-214')-bisdisulfuro del dímero de la des-432-lisina-[receptor 1 humano del factor de crecimiento endotelial vascular-(103-204)-péptido (que contiene el dominio Ig-like C2-tipo 2) proteína de fusión con el receptor 2 humano del factor de crecimiento endotelial vascular-(206-308)-péptido (que contiene un fragmento del dominio Ig-like C2-tipo 3) proteína de fusión con la inmunoglobulina G1 humana-(227 restos C-terminales)-péptido (fragmento Fc)]



## Monomer / Monomère / Monómero

```

SDTGRPFVEM YSEIPEIIHM TEGRELVIPI C RVTSPNITVT LKKFPPLDTLI 50
PDGKRIIWDS RKGFIIISNAT YKEIGLITCE ATVNIGHLYKT NYLTHRQNTT 100
IIDVVLSPSH GIELSVGEKL VLNLCTARTEL NVGIDPNWEY PSSKHQHKKL 150
VNRLDKTQSG SEMKKFLSTL TIDGVTRSDQ GLYTCAASSG LMTKKNSTFV 200
RVHEKDKTHT CPPCPAPELL GGPSPVFLFPP KPKDITLMISR TPEVTCVVVD 250
VSHEDEPEVKF NWYVDVGVEVH NAKTKPREEQ YNSTYRVSV LTVLHQDWLN 300
GKEYKCKVSN KALPAPIEKT ISKAKGOPRE PQVYTLPPSR DELTKRNQVSL 350
TCLVKGFYPS DIAVEWESNG QPENNYKTTP PVLDSDGSFF LYSKLTVDKS 400
RWQQGNVFSC SVMHEALHNH YTQKSLSLSP G 431

```

Disulfide bridges location / Position des ponts disulfure / Posiciones de los puentes disulfuro  
 30-79 30'-79' 124-185 124'-185' 211-211'  
 214-214' 246-306 246'-306' 352-410 352'-410'

## aleglitazarum

## aleglitazar

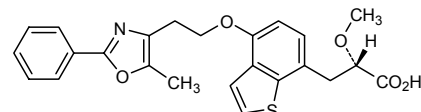
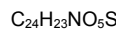
(2S)-2-methoxy-3-{4-[2-(5-methyl-2-phenyl-1,3-oxazol-4-yl)ethoxy]-1-benzothiophen-7-yl}propanoic acid

## aléglitazar

acide (2S)-2-méthoxy-3-[4-[2-(5-méthyl-2-phényl-1,3-oxazol-4-yl)éthoxy]-1-benzothiophén-7-yl]propanoïque

## aleglitazar

ácido (2S)-3-{4-[2-(2-fenil-1,3-oxazol-5-metil-4-il)etoxi]-1-benzotiofen-7-il}-2-metoxipropanoico



## alferminogenum tadenovecum\*

## alferminogene tadenovec

recombinant human adenovirus 5 (replication-deficient, E1-deleted) containing a human fibroblast growth factor-4 cDNA sequence driven by a cytomegalovirus promoter

## alferminogène tadenovec

adénovirus 5 humain recombinant (réplication-déficient, région E1-supprimée) contenant la séquence ADN-copie du facteur 4 de croissance du fibroblaste humain sous contrôle d'un promoteur de citomégalovirus

## alferminogén tadenovec

adenovirus 5 humano recombinante (replicación-deficiente, con delección E1) que contiene la secuencia DNA-copia del factor-4 de crecimiento de fibroblastos humanos controlado por un promotor de citomegalovirus

**apilimodum**

apilimod

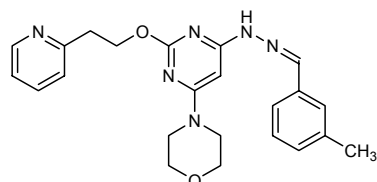
1-[(3-methylphenyl)methylidene]-2-[6-(morpholin-4-yl)-2-[2-(pyridin-2-yl)ethoxy]pyrimidin-4-yl]hydrazine

apilimod

1-(3-méthylbenzylidène)-2-[6-(morpholin-4-yl)-2-[2-(pyridin-2-yl)=éthoxy]pyrimidin-4-yl]diazane

apilimod

1-(3-metilbencilideno)-2-[6-(morfolin-4-il)-2-[2-(piridin-2-il)etoxi]=pirimidin-4-il]diazano

C<sub>23</sub>H<sub>26</sub>N<sub>6</sub>O<sub>2</sub>**apricitabinum**

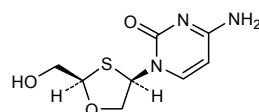
apricitabine

4-amino-1-[(2*R*,4*R*)-2-(hydroxymethyl)-1,3-oxathiolan-4-yl]pyrimidin-2(1*H*)-one

apricitabine

(-)-4-amino-1-[(2*R*,4*R*)-2-(hydroxyméthyl)-1,3-oxathiolan-4-yl]=pyrimidin-2(1*H*)-one

apricitabina

(-)-4-amino-1-[(2*R*,4*R*)-2-(hidroximetil)-1,3-oxatiolan-4-il]pirimidin-2(1*H*)-onaC<sub>8</sub>H<sub>11</sub>N<sub>5</sub>O<sub>3</sub>S**artemisonum**

artemisone

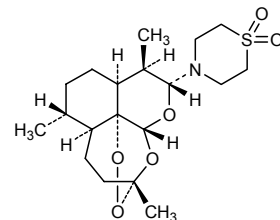
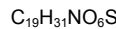
4-[(3*R*,5*a*S,6*R*,8*a*S,9*R*,10*R*,12*R*,12*a*R)-3,6,9-trimethyldecahydro-12*H*-3,12-epoxypyrano[4,3-*J*][1,2]benzodioxepin-10-yl]=thiomorpholine-1,1-dione

artémisone

1,1-dioxyde de 4-[(3*R*,5*a*S,6*R*,8*a*S,9*R*,10*R*,12*R*,12*a*R)-3,6,9-triméthyldécahydro-3,12-époxyprano[4,3-*J*]-1,2-benzodioxépin-10-yl]thiomorpholine

artemisona

1,1-dióxido de 4-[(3*R*,5*a*S,6*R*,8*a*S,9*R*,10*R*,12*R*,12*a*R)-3,6,9-trimetildécahidro-3,12-epoxipirano[4,3-*J*]-1,2-benzodioxepin-10-il]=tiomorfolina



**ataciceptum\***  
atacicept

[86-serine,101-glutamic acid,196-serine,197-serine,222-aspartic acid,224-leucine][human tumor necrosis factor receptor superfamily member 13B-(30-110)-peptide (TACI fragment containing TNFR-Cys 1 and TNFR-Cys 2) fusion protein with human immunoglobulin G1-(232 C-terminal residues)-peptide ( $\gamma$ 1-chain Fc fragment), (92-92':95-95')-bisdisulfide dimer]

atacicept

(92-92':95-95')-bisdisulfure du dimère de la [86-sérine,101-acide glutamique,196-sérine,197-sérine,222-acide aspartique,224-leucine]-protéine de fusion du membre 13B humain de la superfamille des récepteurs du facteur de nécrose tumorale-(30-110)-peptide (portion du TACI incluant les deux régions riches en cystéine) avec l'immunoglobuline G1 humaine-(232 résidus C-terminaux)-peptide (fragment Fc de la chaîne  $\gamma$ 1)

atacicept

92-92':95-95')-bisdisulfuro del dímero de la [86-serina,101-ácido glutámico,196-serina,197-serina,222-ácido aspártico,224-leucina]-proteína de fusión del miembro 13B humano de la superfamilia de receptores del factor de necrosis tumoral-(30-110)-péptido (porción del TACI que incluye las dos regiones ricas en cisteína) con la inmunoglobulina G1 humana-(232 restos C-terminales)-péptido (fragmento Fc de la cadena  $\gamma$ 1)



Monomer / Monomère / Monómero

AMRSCPPEEQY	WDPPLLTCMS	CKTICCNHQSQ	RTCAAFCRSL	SCRKEQQKFY	50
DHLLRDCISC	ASICGQHPKQ	CAYFCEENKLR	SEPKSSDKTH	TCPCCPAPEA	100
EGAPSVLFLFP	PKPKDTLMIS	RTPEVTCVVV	DVSHEDEPVK	FNWYVDGVEV	150
HNAKTKPREE	QYNSTYRVVS	VLTVLHQDWL	NGKEYKCKVS	NKALPSSIEK	200
TISKAKGQPR	EPQVYTLPPS	RDELTKNQVS	LTCLVKGFYD	SDIAVEWESN	250
GQPENNYKTT	PPVLDSDGSF	FLYSKLTVDK	SRWQQGNVFS	CSVMEHALHN	300
HYTQKSLSLS	PGK				313

Disulfide bridges location / Position des ponts disulfure / Posiciones de los puentes disulfuro  
 5-18 5'-18' 21-33 21'-33' 25-37 25'-37' 42-57 42'-57' 60-71  
 60'-71' 64-75 64'-75' 92-92' 95-95' 127-187 127'-187' 233-291 233'-291'

**azilsartanum**  
azilsartan

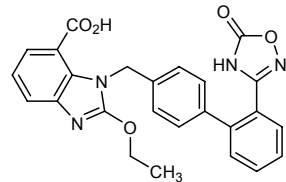
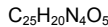
2-ethoxy-1-[{2'-(5-oxo-4,5-dihydro-1,2,4-oxadiazol-3-yl)-1,1'-biphenyl-4-yl]methyl}-1*H*-benzimidazole-7-carboxylic acid

azilsartan

acide 2-éthoxy-1-[{2'-(5-oxo-4,5-dihydro-1,2,4-oxadiazol-3-yl)=biphényl-4-yl]méthyl}-1*H*-benzimidazole-7-carboxylique

azilsartán

ácido 2-etoxi-1-{[2'-(5-oxo-4,5-dihidro-1,2,4-oxadiazol-3-il)bifenil-4-il]metil}-1*H*-bencimidazol-7-carboxílico

**bavituximab\***

bavituximab

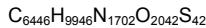
immunoglobulin G1, anti-(phosphatidylserine) chimeric monoclonal ch3G4; gamma1 heavy chain (*Mus musculus* VH-*Homo sapiens* IGHG1) (223-214')-disulfide with kappa light chain (*Mus musculus* V-KAPPA-*Homo sapiens* IGKC); (229-229":232-232")-bisdisulfide dimer

bavituximab

immunoglobuline G1, anti-(phosphatidylsérine) anticorps monoclonal chimérique ch3G4; chaîne lourde gamma1 (*Mus musculus* VH-*Homo sapiens* IGHG1) (223-214')-disulfure avec la chaîne légère kappa (*Mus musculus* V-KAPPA-*Homo sapiens* IGKC); dimère (229-229":232-232")-bisdisulfure

bavituximab

inmunoglobulina G1, anti-(fosfatidilserina) anticuerpo monoclonal químérico ch3G4; cadena pesada gamma1 (*Mus musculus* VH-*Homo sapiens* IGHG1) (223-214')-disulfuro con la cadena ligera kappa (*Mus musculus* V-KAPPA-*Homo sapiens* IGKC), dímero (229-229":232-232")-bisdisulfuro



## Heavy chain / Chaîne lourde / Cadena pesada

EVQLQQSGPE	LEKPGASVKL	SCKASGYSTF	GYNMNWVKQS	HGKSLEWIGH	50
IDPYYGGDTSY	NQKFRGKATL	TVDKSSSTAY	MQLKSITSED	SAVYYCVKGG	100
YYGHWYIFDVW	GAGTTTVVSS	ASTKGPSVFP	LAPSSKSTSG	GTAALGCLVK	150
DYFPEPVTVS	WNSGALTSGV	HTFPAVLQSS	GLYSLSVVVT	VPSSSLGTQT	200
YICNVNKHPS	NTKVDDKVKEP	KSCDKTHTCP	PCPAPELLGG	PSVFLFPKPK	250
KDTLMISRTP	EVTCVVVDVS	HEDPEVKFNW	YVDGVEVHNA	KTKPFREEQYN	300
STYRVRVSVLT	VLHQDWLNKG	EYKCKVSNKA	LPAPIEKTIS	KAKGQPREPQ	350
VYTLLPSSRDE	LTKNQVSLTC	LVKGFYPSDI	AWEWEENQQP	ENNYKTTTPV	400
LDSDGSSFFLY	SKLTVDKSRW	QQGNVFSCSV	MHEALHNHYT	QKSLSLSPGK	450

## k Chain / Chaîne k / Cadena k

DIQMTQSPSS	LSASLGERVS	LTCRASQDIG	SSLNLWQQGP	DGTIKRLIYA	50'
TSSLDSGVPK	RFGSGRSGS	YSLTISSLES	EDFVDYVYCLQ	VVSSPPTFGA	100'
GTKLELKRAD	AAAPSVFIFPP	SDEQLKSGTA	SVVCLLNNFY	PREAKVQWKV	150'
DNALQSGNSQ	ESVTEQDSKD	STYSLSSTLT	LSKADYEKHK	VYACEVTHHQG	200'
LSSFVTKSFN	RGEC				214'

## Disulfide bridges location / Position des ponts disulfure / Posiciones de los puentes disulfuro

22-96 22"-96" 23"-88" 23"-88" 134"-194" 134"-194" 147-203 147"-203"  
214"-223 214"-223" 229-229" 232-232" 264-324 264"-324" 370-428 370"-428"

**bedoradrinum**

bedoradrine

2-{{(7S)-7-[(2R)-2-hydroxy-2-[4-hydroxy-3-(2-hydroxyethyl)phenyl]ethyl]amino}-5,6,7,8-tetrahydronaphthalen-2-yl]oxy}-  
*N,N*-dimethylacetamide

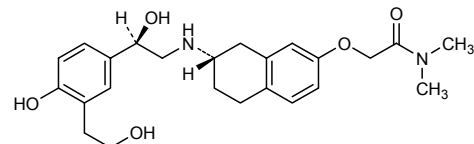
bé doradrine

(-)-2-{{(7S)-7-[(2R)-2-hydroxy-2-[4-hydroxy-3-(2-hydroxyéthyl)=  
phénylethyl]amino]-5,6,7,8-tétrahydronaphthalén-2-yl]oxy}-  
*N,N*-diméthylacétamide

bedoradrina

(-)-2-{{(7S)-7-[(2R)-2-hidroxi-2-[4-hidroxi-3-(2-hidroxietil)fenil]=  
etil]amino}-5,6,7,8-tetrahidronaftalen-2-il]oxi}-*N,N*-dimetilacetamida

C<sub>24</sub>H<sub>32</sub>N<sub>2</sub>O<sub>5</sub>

**beperminogenum perplasmidum\***

beperminogene perplasmid

plasmid DNA containing human hepatocyte growth factor cDNA  
sequence driven by a cytomegalovirus promoter

béperminogène perplasmide

ADN plasmidique contenant la séquence ADN-copie du facteur de  
croissance de l'hépatocyte humain sous contrôle d'un promoteur de  
cytomegalovirus

beperminogén perplásmodo

DNA de plásmido que contiene la secuencia DNA-copia del factor  
de crecimiento del hepatocito humano controlado por un promotor  
de citomegalovirus

**beroctocogum alfa\***

beroctocog alfa

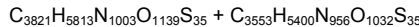
human blood-coagulation factor VIII-(1-740)-peptide complex with  
human blood-coagulation factor VIII-(1649-2332)-peptide

béroctocog alfa

combinaison du facteur VIII de coagulation humain-(1-740)-péptide  
(chaine lourde du facteur VIIIa, isoforme de 92 kDa) avec le facteur  
VIII de coagulation humain-(1649-2332)-péptide (chaîne légère du  
facteur VIIIa)

beroctocog alfa

combinación del factor VIII de coagulación humano-(1-740)-péptido  
(cadena pesada del factor VIIIa, isoforma de 92 kDa) con el factor  
VIII de coagulación humano-(1649-2332)-péptido (cadena ligera del  
factor VIIIa)



Heavy chain / Chaîne lourde / Cadena pesada

ATRRYLYGAV	ELSWDYMOSD	LGEIPVDAF	PPRVPKSFPF	NTSVVYKKTL	50
FVEFTDHLFN	IAKPRPFWMG	LLCPTIQAEV	YDTWITLKN	MASHPVLHA	100
VGVSYWKASE	GAEYDDQTSQ	REKEEDDKVFP	GGSHTYWWQV	LKENGPMSD	150
PLCLITYSYLS	HVDLVKDILNS	GLIGALLVCR	EGLSLAKEKTQ	TLHKFILLFA	200
VFDGKSWHS	ETKNSLMQDR	DAASARAWPK	MHTVNNGVNR	SLPGLIGCH	250
KSVVWHFLIGM	GTTPEVHSIF	LEGHPTFLVRN	HRQASLEISP	ITFLTAQTL	300
MDLGQFLLFC	HISSHQHDGM	EAYVKWDSCP	EEPOLRMKNN	EEAEDYDDL	350
TDSEMDVVRF	DDDNSQPSFIQ	IRSVAKKKHPK	TWWHYIAAE	EDWDYAPLVL	400
APDDRSYKSQ	YLNNPQRIQ	RKYKKVFRMA	YTDETFKTRE	AIQHESGILG	450
PLLYGEVGD	LLIIFKPNQAS	RPYNIYPHGI	TDVRPLYSRR	LPKGVKHLKD	500
FPILPGEIFF	YKWTVTVEDG	PTKSDPRCLT	RYYSSFVNME	RDLASGLIGP	550
LLICYKESV	QRGNQIMMSDK	RNVILFSPVDF	ENRSWYLTEN	IQRFLPNPAG	600
VQLEDPEFQ	SNIMHSINGY	VFDSSLVSCV	LHEVAWYIL	SIGAQTDPLS	650
VFFSGYTFKH	KMVYEDTLTL	FPFGSETVFM	SMENPGLWIL	GCHNSDFRNR	700
GMTALLKVSS	CDKNITGDYYE	DSYEDISAYL	LSKNNAIEPR	S	741

Light chain / Chaîne légère / Cadena ligera

	EI 1650
TRTTLQSDQE	EIDYDDTISV
AAVERLNDYG	EMKKEDFDIY
MSSSPHVLRN	DEDENQSPRS
RAQSGSVPOF	FQKKTRHYFI
KKVVFOFPTD	1700
ELNEHLLGLLG	GSFTQPLYRG
PYIRAEVEDN	1750
IMVTFRNQAS	SYEEDQRQGA
RPYSFYSSLI	1800
EPRKNFVKPN	DCKAWAYFSD
ETKTYFWKVQ	VDLEKDVHSG
HHMAPTKDEF	1850
LIGPLLVCHT	TIFDETKSWY
NTLNPAHGRQ	FTENMERNCR
TVTQEFPALFP	1900
APCNIQMEDP	GLVMAQDQRI
TPKENYRFHA	RWYLLSMSGN
INGYIMDTLP	1950
ENIHSIHFGS	YKMALYNLYP
HVFTVRKKEE	GVFETVEMLP
LIGEHLHAGM	SKAGIWRVEC
STLFLVYSNK	2000
CQTPLGMASG	LIREFQITAS
HIRDFOQITAS	GQYQOWAPKL
ARLHYSGSIN	2050
AWSTKEPPFW	IHGIKTQGAR
IKV DLLAPMI	QKFSSLYISQ
FIIMYSLDGK	2100
KWQTYRGNST	DSSGIKHNF
GTMVFFGNV	NPPIIARYIR
LHPTHYSIRS	2150
TLRMELMGC	ESKAISDAQI
LNSCSMPLGM	TASSYFTNMF
ATWSPIKARL	2200
HLQGRSRNAWR	PQVNNPKEWL
WTLFFQNGKV	QVFQKTMKV
LLTSMYVKEF	2250
LISSSQDQHQ	KVFOGNQDSF
WTLFFQNGKV	TPVVNSLDPP
QSWVHQIALR	2300
MEVLGCEAQD	LY
	2332

Disulfide bridges location / Position des ponts disulfure / Posiciones de los puentes disulfuro  
153-179 528-554 1899-1903 2021-2169 2174-2326

Glycosylation sites / Sites de glycosylation / Posiciones de glicosilación  
Asn-41 Asn-239 Asn-582 Asn-1810 Asn-2118

Modifications / Modificaciones  
Y = 4-O-sulfotyrosyl

### bremelanotidum bremelanotide

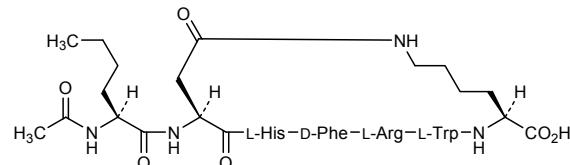
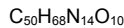
2,7-anhydro(*N*-acetyl-L-2-aminohexanoyl-L-aspartyl-L-histidyl-D-phenylalanyl-L-arginyl-L-tryptophyl-L-lysine)

### brémelanotide

*N*-acétyl-L-2-aminohexanoyl-L- $\alpha$ -aspartyl-L-histidyl-D-phénylalanyl-L-arginyl-L-tryptophyl-L-lysine-(2 $\rightarrow$ 7)-lactame

### bremelanotida

*N*-acétيل-L-2-aminohexanoil-L- $\alpha$ -aspartil-L-histidil-D-fenilalanil-L-arginil-L-triptofil-L-lisina-(2 $\rightarrow$ 7)-lactama



**bucelipasum alfa\***  
bucelipase alfahuman bile-salt-activated lipase (cholesterol esterase, EC 3.1.1.13),  
glycoform alfa (recombinant hBSSL)

## bucélipase alfa

lipase activée par les sels biliaires humaine (cholestérol estérase,  
EC 3.1.1.13), glycoforme alpha (recombinante hBSSL)

## bucelipasa alfa

lipasa humana activada por las sales biliares (colesterol esterasa,  
EC 3.1.1.13), glicoforma alfa (recombinante hBSSL)

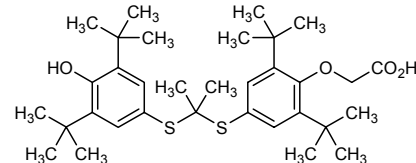
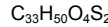
AKLGAVYTEG	GFEVGVNKKL	GLLGDSVDIF	KGIPFAAPTK	ALENPQPHPG	50
WQGTLKAKNF	KKRCLQATIT	QDSTYGDEDC	LYLNIWVPQG	RKVSRDLPV	100
MIWIYGGAFL	MGSGHGANFL	NNYLYDGEII	ATRGNVIVVT	FNYRVGPLGF	150
LSTGDANLPG	NYGLRDQHMA	IAWKVRNIAA	FGGDPNNITL	FGESAGGASV	200
SJQTLSPYNIK	GLIRRAISQS	GVALSPWVIQ	KNPFLWAKKV	AEKVGCVPGD	250
AARMAQCLKV	TDPRALTLAY	KVPLAGLEYP	MLYHVGFPV	IDGDFIPADE	300
INLYANAADI	DYIAGTNNMD	GHIFASIDMP	AINKGNKKVFT	EEDPYKLVSE	350
FTITKGRLGA	KTTFDVYTES	WAQDPSQENK	KKTVVDFETID	VLFVLVPTEIA	400
LAQHRANAKS	AKTYAYLFSE	PSRMPVYPKW	VGADHADDIQ	YVFGKPFATA	450
TGYRPQDRTV	SKAMIAYWWTN	FAKTCDPNMG	DSAVENTHWEIP	YTTEENSGYLE	500
ITKKGMSSSM	KRSLRTNFLR	YWTILTYLALP	TVTDQEATPV	PPTGDSEATP	550
VPPPTGSETA	PPVPTGDSGA	PPVPPPTGDS	APPVPPPTGDS	GAPVPPPTGDS	600
SGAPPVPPPTG	DSGAPPVPPPT	GDSGAPPVPP	TGDSGAPPV	PTGDAGPPPV	650
PPTGDSGAPP	PPVPTGDSGAP	PVTPGTGDS	APVPPPTGDSG	APPVPPPTGDS	700
EAAPVPPPTDD	SKEAQMPAVI	RF			722

Disulfide bridges location / Position des ponts disulfure / Posiciones de los puentes disulfuro  
64-80 246-257Glycosylation sites / Sites de glycosylation / Posiciones de glicosilación  
Asn-187 Thr-538 Thr-549 Thr-559 Thr-576 Thr-587  
Thr-598 Thr-609 Thr-620 Thr-631 Thr-642**camobucolum**  
camobucol4-{4-[2-[(3,5-di(*tert*-butyl)-4-hydroxyphenyl]sulfanyl]propan-2-yl}=  
sulfanyl]-2,6-di(*tert*-butyl)phenoxy}acetic acid

## camobucol

acide 4-{4-[2-[(3,5-di(*tert*-butyl)-4-hydroxyphényle]sulfanyl]propan-  
2-yl]sulfanyl}-2,6-di(*tert*-butyl)phénoxy}acétique

## camobucol

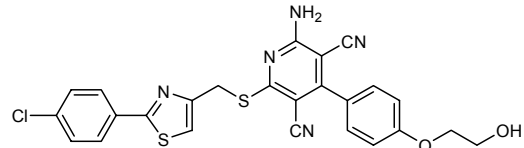
ácido 4-{4-[2-[(3,5-di(*terc*-butil)4-hidroxifenil)sulfanil]propan-2-il}=  
sulfanil]-2,6-di(*terc*-butil)fenoxy}acético**capadenosonum**  
capadenoson2-amino-6-({[2-(4-chlorophenyl)-1,3-thiazol-4-yl]methyl}sulfanyl)-  
4-[4-(2-hydroxyethoxy)phenyl]pyridine-3,5-dicarbonitrile

## capadénoson

2-amino-6-[[[2-(4-chlorophényle)-1,3-thiazol-4-yl]méthyl]sulfanyl]-  
4-[4-(2-hydroxyéthoxy)phényle]pyridine-3,5-dicarbonitrile

## capadenosón

2-amino-6-({[2-(4-clorofenil)-1,3-tiazol-4-il]metil}sulfanil)-  
4-[4-(2-hidroxietoxi)fenil]piridina-3,5-dicarbonitriilo

**catramilastum**

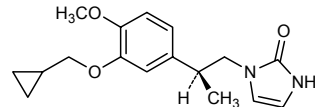
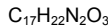
catramilast

1-[(2*S*)-2-[3-(cyclopropylmethoxy)-4-methoxyphenyl]propyl]-1,3-dihydro-2*H*-imidazol-2-one

catramilast

1-[(2*S*)-2-[3-(cyclopropylméthoxy)-4-méthoxyphényl]propyl]-1,3-dihydro-2*H*-imidazol-2-one

catramilast

1-[(2*S*)-2-[3-(ciclopropilmetoxi)-4-metoxifenil]propil]-1,3-dihidro-2*H*-imidazol-2-oná**cediranibum**

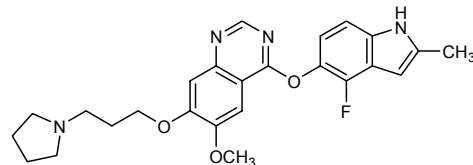
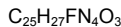
cediranib

4-[(4-fluoro-2-methyl-1*H*-indol-5-yl)oxy]-6-methoxy-7-[3-(pyrrolidin-1-yl)propoxy]quinazoline

cédiranib

4-[(4-fluoro-2-méthyl-1*H*-indol-5-yl)oxy]-6-méthoxy-7-[3-(pyrrolidin-1-yl)propoxy]quinazoline

cediranib

4-[(4-fluoro-2-metil-1*H*-indol-5-il)oxi]-6-metoxi-7-[3-(pirrolidin-1-il)=propoxi]quinazolina**denibulinum**

denibulin

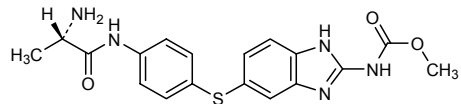
methyl [5-((2*S*)-2-aminopropanamido)phenyl]sulfanyl)-1*H*-benzimidazol-2-yl]carbamate

dénibuline

[5-[[4-[(2*S*)-2-aminopropanamido]phenyl]sulfanyl]-1*H*-benzimidazol-2-yl]carbamate de méthyle

denibulina

[5-((4-[(2*S*)-2-aminopropanamido]fenil)sulfaniil)-1*H*-bencimidazol-2-il]carbamato de metilo



**dexelvucitabinum**  
dexelvucitabine

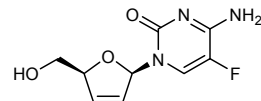
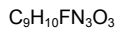
4-amino-5-fluoro-1-[(2R,5S)-5-(hydroxymethyl)-2,5-dihydrofuran-2-yl]pyrimidin-2(1H)-one

dexelvucitabine

(+)-4-amino-5-fluoro-1-[(2R,5S)-5-(hydroxyméthyl)-2,5-dihydrofuran-2-yl]pyrimidin-2(1H)-one

dexelvucitabina

(+)-4-amino-5-fluoro-1-[(2R,5S)-5-(hidroximetil)-2,5-dihidrofuran-2-il]pirimidin-2(1H)-ona



**efungumab\***  
efungumab

immunoglobulin scFv fragment, anti-(heat shock protein 90 homolog from *Candida albicans* (yeast)), methionylalanyl-[human monoclonal HSP90mab VH domain (120 residues)]-tris[(tetraglycyl)seryl]-[human monoclonal HSP90mab V-KAPPA domain (107 residues)]-[arginyl-trialanyl-leucyl-glutamyl]-hexahistidine

éfungumab

immunoglobuline fragment scFv, anti-(homologue de la protéine de choc thermique 90 de *Candida albicans* (levure)), méthionylalanyl-[domaine VH (120 résidus) de l'anticorps monoclonal humain HSP90mab]-tris[(tétraglycyl)séryl]-[domaine V-KAPPA (107 résidus) de l'anticorps monoclonal humain HSP90mab]-[arginyl-trialanyl-leucyl-glutamyl]-hexahistidine

efungumab

inmunoglobulina fragmento scFv, anti-(homólogo de la proteína de choc térmico 90 de *Candida albicans* ), metionilalanil-[dominio VH (120 restos) del anticuerpo monoclonal humano HSP90mab]-tris[(tetraglicil)seril]-[dominio V-KAPPA (107 restos) del anticuerpo monoclonal humano HSP90mab]-[arginil-trialanil-leucil-glutamil]-hexahistidina

```

MAEVQLVES GAEVKKPGES LRISCKGSGC IISSYWISWV RQMPGKGLEW
MGKIDPGDSY INYSPSFQGH VTISADKSIN TAYLQWNSLK ASDTAMYCA
RGGRDFGDSF DWYGQGTLVV VSSGGGGSGG GGSGGGGSDV VMTQSFSFLS
AFVGDRTIT CRASSGISRY LAWYQQAPGK APKLLIYAAS TLQTGVPSRF
SGSGSGTEFT LTINSLOPED FATYYCQHLN SYPLTFGGT KVDIKRAAA
LEhhhhh

```

**elocalcitolum**

elocalcitol

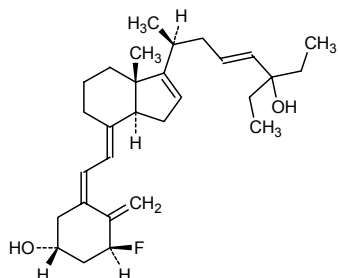
(1S,3R,5Z,7E,23E)-1-fluoro-26,27-dihomo-9,10-secocholesta-5,7,10(19),16,23-pentaene-3,25-diol

élolocalcitol

(1R,5S)-3-[(1Z)-2-[(3aS,4E,7aS)-1-[(1S,3E)-5-éthyl-5-hydroxy-1-méthylept-3-ényll]-7a-méthyl-3,3a,5,6,7,7a-hexahydro-4H-indén-4-ylidène]éthylidène]-5-fluoro-4-méthylidènecyclohexanol

elocalcitol

(1S,3R,5Z,7E,23E)-1-fluoro-26,27-dihomo-9,10-secocoleta-5,7,10(19),16,23-pentaeno-3,25-diol

C<sub>29</sub>H<sub>43</sub>FO<sub>2</sub>**elsibucolum**

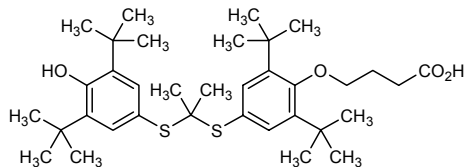
elsibucol

4-{4-[(2-{{[3,5-di-*tert*-butyl-4-hydroxyphenyl]sulfanyl}propan-2-yl)=sulfanyl]-2,6-di-*tert*-butylphenoxy}butanoic acid

elsibucol

acide 4-[4-[[1-[[3,5-bis(1,1-diméthyléthyl)-4-hydroxyphényl]sulfanyl]-1-méthyléthyl]sulfanyl]-2,6-bis(1,1-diméthyléthyl)phénoxy]butanoïque

elsibucol

ácido 4-{4-[(2-{{[3,5-di-*terc*-butil-4-hidroxifenil]sulfanil}propan-2-il)=sulfanil]-2,6-di-*terc*-butilfenoxi}butanoicoC<sub>35</sub>H<sub>54</sub>O<sub>4</sub>S<sub>2</sub>**epoetinum theta**

epoetin theta

human erythropoietin-(1-165)-peptide, glycoform θ

époétine thête

érythropoïétine humaine-(1-165)-peptide, glycoforme θ

epoetina zeta

eritropoyetina humana-péptido-(1-165), glicoforma θ

C<sub>809</sub>H<sub>1301</sub>N<sub>229</sub>O<sub>240</sub>S<sub>5</sub>

**ferroquinum**  
ferroquine

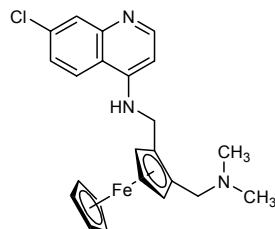
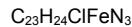
*N'*-(7-chloroquinolin-4-yl)-*N,N*-dimethyl-*C,C'*-(ferrocene-1,2-diyl)=dimethanamine

## ferroquine

*N'*-(7-chloroquinolinéin-4-yl)-*N,N*-diméthyl-*C,C'*-(férrocène-1,2-diyl)=diméthanamine

## ferroquina

*N'*-(7-cloroquinolin-4-il)-*N,N*-dimetil-*C,C'*(ferroceno-1,2-diil)=dimetanamina

**fluticasonum furoas**  
fluticasone furoate

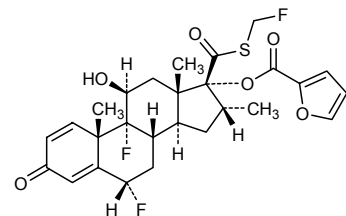
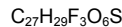
6 $\alpha$ ,9-difluoro-17-[[fluoromethyl]sulfanyl]carbonyl]-11 $\beta$ -hydroxy-16 $\alpha$ -methyl-3-oxoandrosta-1,4-dien-17 $\alpha$ -yl furan-2-carboxylate

## furoate de fluticasone

furane-2-carboxylate de 6 $\alpha$ ,9-difluoro-17-[[fluorométhyl]sulfanyl]carbonyl]-11 $\beta$ -hydroxy-16 $\alpha$ -méthyl-3-oxoandrosta-1,4-dién-17 $\alpha$ -yle

## furoato de fluticasona

furano-2-carboxilato de 6 $\alpha$ ,9-difluoro-17-[[fluorometil]sulfanil]carbonil]-11 $\beta$ -hidroxi-16 $\alpha$ -metil-3-oxoandrosta-1,4-dien-17 $\alpha$ -ilo

**fosalvudinum tidoxilum**  
fosalvudine tidoxil

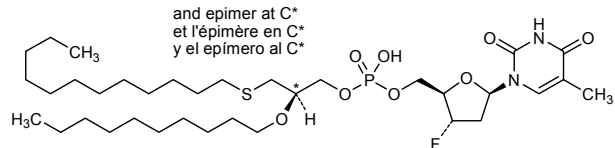
(2 $RS$ )-2-(decyloxy)-3-[(dodecyl)sulfanyl]propyl [(2 $R$ ,3 $S$ ,5 $R$ )-3-fluoro-5-(5-methyl-2,4-dioxo-3,4-dihdropyrimidin-1(2 $H$ )-yl)tetrahydrofuran-2-yl]methyl hydrogen phosphate

## fosalvudine tidoxil

hydrogénophosphate de (2 $RS$ )-2-(décyloxy)-3-(dodécylsulfanyl)propyle et de [(2 $R$ ,3 $S$ ,5 $R$ )-3-fluoro-5-(5-méthyl-2,4-dioxo-3,4-dihdropyrimidin-1(2 $H$ )-yl)tétrahydrofuran-2-yl)méthyle

## fosalvudina tidoxilo

hidrógenofosfato de (2 $RS$ )-2-(deciloxi)-3-[(dodecil)sulfanil]propilo y [(2 $R$ ,3 $S$ ,5 $R$ )-3-fluoro-5-(5-metil-2,4-dioxo-3,4-dihidropirimidin-1(2 $H$ )-il)tetrahidrofuran-2-il]metilo



**gamithromycinum**  
gamithromycin

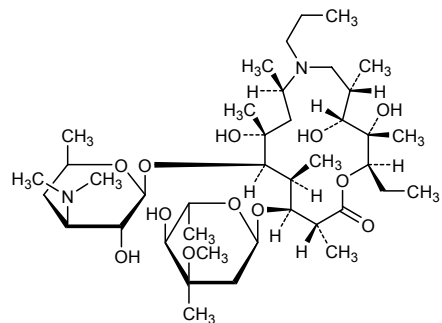
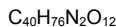
(2*R*,3*S*,4*R*,5*S*,8*R*,10*R*,11*R*,12*S*,13*S*,14*R*)-13-[(2,6-dideoxy-3-C-methyl-3-O-methyl- $\alpha$ -L-ribo-hexopyranosyl)oxy]-2-ethyl-3,4,10-trihydroxy-3,5,8,10,12,14-hexamethyl-7-propyl-11-[[3,4,6-trideoxy-3-(dimethylamino)- $\beta$ -D-xylo-hexopyranosyl]oxy]-1-oxa-7-azacyclopentadecan-15-one

## gamithromycin

(2*R*,3*S*,4*R*,5*S*,8*R*,10*R*,11*R*,12*S*,13*S*,14*R*)-13-[(2,6-didésoxy-3-C-méthyl-3-O-méthyl- $\alpha$ -L-ribo-hexopyranosyl)oxy]-2-éthyl-3,4,10-trihydroxy-3,5,8,10,12,14-hexaméthyl-7-propyl-11-[[3,4,6-tridésoxy-3-(diméthylamino)- $\beta$ -D-xylo-hexopyranosyl]oxy]-1-oxa-7-azacyclopentadécan-15-one

## gamitromicina

(2*R*,3*S*,4*R*,5*S*,8*R*,10*R*,11*R*,12*S*,13*S*,14*R*)-13-[(2,6-didesoxi-3-C-métil-3-O-métil- $\alpha$ -L-ribo-hexopiranosil)oxi]-2-etyl-3,4,10-trihidroxi-3,5,8,10,12,14-hexametil-7-propil-11-[[3,4,6-tridesoxi-3-(dimetilamino)- $\beta$ -D-xylo-hexopiranosil]oxi]-1-oxa-7-azaciclopentadecan-15-ona



**ilepatrilium**  
ilepatril

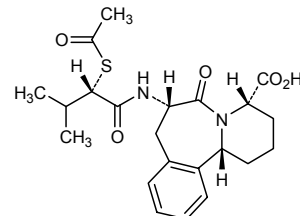
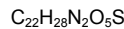
(4*S*,7*S*,12*bR*)-7-[(2*S*)-2-(acetylulfanyl)-3-methylbutanamido]-6-oxo-1,2,3,4,6,7,8,12*b*-octahydropyrido[2,1-a][2]benzazepine-4-carboxylic acid

## ilépatril

acide (4*S*,7*S*,12*bR*)-7-[(2*S*)-2-(acetylulfanyl)-3-méthylbutanoyl]=amino]-6-oxo-1,2,3,4,6,7,8,12*b*-octahydropyrido[2,1-a][2]=benzazépine-4-carboxylique

## ilepatrilo

ácido (4*S*,7*S*,12*bR*)-7-[(2*S*)-2-(acetilsulfanil)-3-metilbutanoil]amino]-6-oxo-1,2,3,4,6,7,8,12*b*-octahidropirido[2,1-a][2]benzazepina-4-carboxílico



**imisopasemum manganum**  
imisopasem manganese

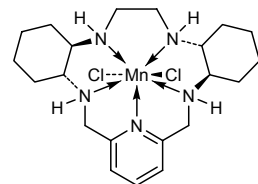
(PBPY-7-11-2344'3')-dichloro[(4aR,13aR,17aR,21aR)-1,2,3,4,4a,5,6,12,13,13a,14,15,16,17,17a,18,19,20,21,21a-icosahydro-7,11-(azeno)dibenzo[b,h][1,4,7,10]tetraazacycloheptadecine-k⁴N⁶,N¹³,N¹⁸,N²¹,N²²]manganese

imisopasem manganese

(PBPY-7-11-2344'3')-dichloro[(4aR,13aR,17aR,21aR)-1,2,3,4,4a,5,6,12,13,13a,14,15,16,17,17a,18,19,20,21,21a-icosahydro-11,7-nitrilo-7H-dibenzo[b,h][1,4,7,10]tetraazacycloheptadécine-k⁵N⁶,N¹³,N¹⁸,N²¹,N²²]manganese

imisopasem manganese

(PBPY-7-11-2344'3')-dichloro[(4aR,13aR,17aR,21aR)-1,2,3,4,4a,5,6,12,13,13a,14,15,16,17,17a,18,19,20,21,21a-icosahidro-7,11-(azeno)dibenzo[b,h][1,4,7,10]tetraazacicloheptadecino-k⁴N⁶,N¹³,N¹⁸,N²¹,N²²]manganese



**inakalantum**  
inakalant

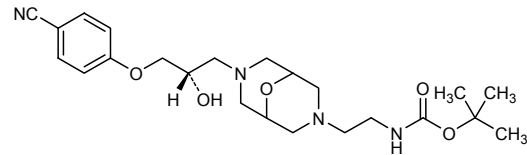
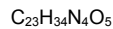
tert-butyl (2-{(2S)-3-(4-cyanophenoxy)-2-hydroxypropyl}-9-oxa-3,7-diazabicyclo[3.3.1]nonan-3-yl)ethyl)carbamate

inakalant

[2-{(2S)-3-(4-cyanophénoxy)-2-hydroxypropyl}-9-oxa-3,7-diazabicyclo[3.3.1]non-3-yl]éthyl]carbamate de 1,1-diméthylethyle

inakalant

(2-{(2S)-3-(4-cianofenoxy)-2-hidroxipropil}-9-oxa-3,7-diazabiciclo[3.3.1]nonan-3-il)etil)carbamato de *terc*-butilo



**lapaquistatum**  
lapaquistat

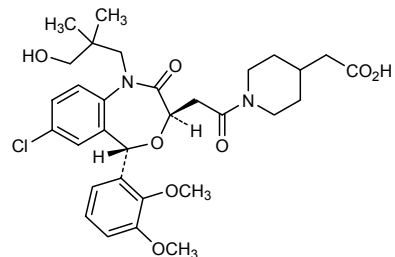
(1-[(3R,5S)-1-(3-hydroxy-2,2-dimethylpropyl)-7-chloro-5-(2,3-dimethoxyphenyl)-2-oxo-1,2,3,5-tetrahydro-4,1-benzoxazepin-3-yl]acetyl)piperidin-4-yl)acetic acid

lapaquistat

acide (1-[(3R,5S)-1-(3-hydroxy-2,2-diméthylpropyl)-7-chloro-5-(2,3-diméthoxyphényl)-2-oxo-1,2,3,5-tétrahydro-4,1-benzoxazépin-3-yl]acétyle)pipéridin-4-yl)acétique

lapaquistat

ácido (1-[(3R,5S)-1-[3-hidroxi-2,2-dimetilpropil]-7-cloro-5-(2,3-dimetoxifenil)-2-oxo-1,2,3,5-tetrahidro-4,1-benzoxazepin-3-il]acetil)piperidin-4-il)acético

**levonadifloxacinum**  
levonadifloxacin

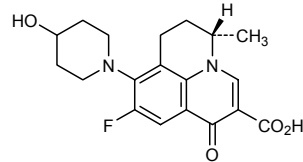
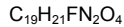
(5S)-9-fluoro-8-(4-hydroxypiperidin-1-yl)-5-methyl-1-oxo-6,7-dihydro-1*H*,5*H*-benzo[*ij*]quinolizine-2-carboxylic acid

lévonadifloxacine

(-)-acide (5S)-9-fluoro-8-(4-hydroxypipéridin-1-yl)-5-méthyl-1-oxo-6,7-dihydro-1*H*,5*H*-benzo[*ij*]quinolizine-2-carboxylique

levonadifloxacino

ácido (5S)-9-fluoro-8-(4-hidroxipiperidin-1-il)-5-metil-1-oxo-6,7-dihidro-1*H*,5*H*-benzo[*ij*]quinolizina-2-carboxílico

**lexatumumabum\***  
lexatumumab

immunoglobulin G1, anti-[human tumor necrosis factor receptor superfamily member 10B (TNFRSF10B, death receptor 5, TNF-related apoptosis-inducing ligand receptor 2, TRAIL-R2, CD262)] human monoclonal HGS-ETR2; gamma1 heavy chain (*Homo sapiens* VH-IGHG1) (224-213')-disulfide with lambda light chain (*Homo sapiens* V-LAMBDA- IGLC2); (230-230":233-233")-bisdisulfide dimer

lexatumumab

immunoglobuline G1, anti-[membre 10B de la superfamille des récepteurs du facteur de nécrose tumorale humain (TNFRSF10B, death receptor 5, TRAIL-R2, CD262)] anticorps monoclonal humain HGS-ETR2; chaîne lourde gamma1 (*Homo sapiens* VH-IGHG1) (224-213')-disulfure avec la chaîne légère lambda (*Homo sapiens* V-LAMBDA- IGLC2); dimère (230-230":233-233")-bisdisulfure

lexatumumab

inmunoglobulina G1, anti-[miembro 10B de la superfamilia de receptores del factor de necrosis tumoral humano (TNFRSF10B, death receptor 5, TRAIL-R2, CD262)] anticuerpo monoclonal humano HGS-ETR2; cadena pesada gamma1 (*Homo sapiens* VH-IGHG1) (224-213')-disulfuro con la cadena ligera lambda (*Homo sapiens* V-LAMBDA- IGLC2); dímero (230-230":233-233")-bisdisulfuro

 $C_{6346}H_{9832}N_{1720}O_{2002}S_{42}$ 

Heavy chain / chaîne lourde / cadena pesada  
 EVQLVQSGGG VERPGGSLRL SCAASGFTFD DYGMWSVRQA PGKGLEWVG 50  
 INWNGGSTGY ADSVKGRVTIS SRDNAKNSLY LQMNSLRAED TAVYVYCAKIL 100  
 GAGRGWYFIDL WGKGTTTVTS SASTKGPSVF PLAPSSKSTS GGTAAALGCLV 150  
 KDVYPPEPVTV SWNSGALTSG VHTFPAVLQS SGLYSLSSVY TVPSSSLCTQ 200  
 TYICCNVNHKP SNTKVDKRVPE PKSCDKTHTC PPCPAPELLG GPSVFLFPK 250  
 PKDTLMISR P E V T C V V V D V SHEDPEVKFN WYVDGVEVHN AKTKPREEQY 300  
 NSTYTRVVSVL TVLHQDWLNG KEYKCKVSNK ALPAPIEKTI SKAKGQPREF 350  
 QVYTLPPSRD EMTKNOVSLT CLVKGFYPSD IAVEWESNGO PENNYKTTPP 400  
 VLDSDGSSFFL YSKLTVDKSR WQQGNVFSCS VMHEALHNHY TQKSLSLSPG 450  
 K

Lambda chain / chaîne lambda / cadena lambda  
 SSELTQDPAV SVALGQTVRI TCQGDSSLRSY YASWYQQKPG QAPVLUYIGK 50  
 NNRPGSIPDR FSQGSSGNTA SLITITGAQAE DEADYYCNSR DSSGNHVVF 100  
 GGTKLTVLQG PKAAAPSVTLF PPSSSEELQAN KATLVLCLISD FYPGAVTVAW 150  
 KADSSPVKAG VETTTPSKQS NNKYAASSYL SLTPEQWKSH RSYSCQVTHE 200  
 GSTVEKTVAP TECS

Disulfide bridges location / Position des ponts disulfure / Posiciones de los puentes disulfuro  
 22-96 22"-87" 22"-96" 22"-87" 136"-195" 136"-195" 148-204 148"-204"  
 213"-224" 213"-224" 230-230" 233-233" 265-325 265"-325" 371-429 371"-429"

**lifigiquatum**

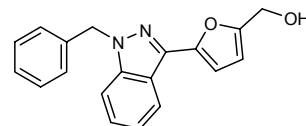
lifigiquat

[5-(1-benzyl-1*H*-indazol-3-yl)furan-2-yl]methanol

lifigiquat

[5-(1-benzyl-1*H*-indazol-3-yl)furan-2-yl]méthanol

lifigiquat

[5-(1-bencil-1*H*-indazol-3-il)furan-2-il]metanol $C_{19}H_{16}N_2O_2$ **lobeglitzazone**

lobeglitzazone

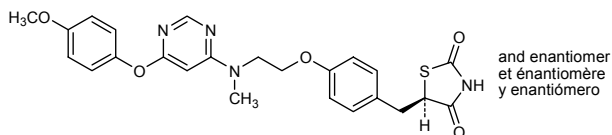
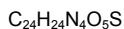
(5*RS*)-5-[4-(2-[[6-(4-methoxyphenoxy)pyrimidin-4-yl]methylamino]=ethoxy)phenyl]methyl]-1,3-thiazolidine-2,4-dione

lobéglitazone

(5*RS*)-5-[4-[2-[[6-(4-méthoxyphén oxy)pyrimidin-4-yl]m éthylamino]=éthoxy]benzyl]thiazolidine-2,4-dione

lobeglitzazona

(5*RS*)-5-[4-(2-[[6-(4-metoxifenoxo)pirimidin-4-il]metilamino]etoxi)=bencil]-1,3-tiazolidina-2,4-diona

**lorcaserinum**

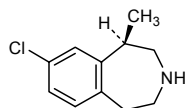
lorcaserin

(1*R*)-8-chloro-1-methyl-2,3,4,5-tetrahydro-1*H*-3-benzazepine

lorcasérine

(1*R*)-8-chloro-1-méthyl-2,3,4,5-tétrahydro-1*H*-3-benzazépine

lorcaserina

(1*R*)-8-cloro-1-metil-2,3,4,5-tetrahidro-1*H*-3-benzazepina**mifamurtidum**

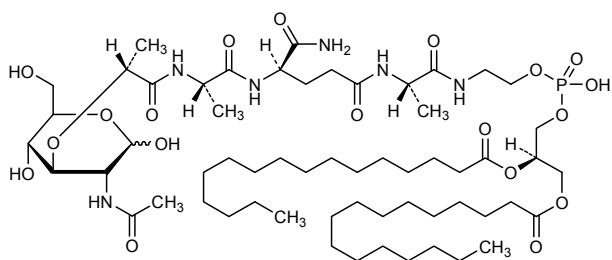
mifamurtide

2-[(*N*-(2*R*)-[(2-acetamido-2,3-dideoxy-D-glucopyranos-3-yl)oxy]propanoyl]-L-alanyl-D-isoglutaminyl-L-alanyl]amino]ethyl  
(2*R*)-2,3-bis(hexadecanoyloxy)propyl hydrogen phosphate

mifamurtide

hydrogénophosphate de 2-[[*N*-(2*R*)-2-[(3*R,4R,5S,6R*)-3-(acétylamino)-2,5-dihydroxy-6-(hydroxyméthyl)tétrahydro-2*H*-pyran-4-yloxy]propanoyl]-L-alanyl-D-isoglutaminyl-L-alanyl]amino]éthyle et  
de (2*R*)-2,3-bis(hexanoyloxy)propyle

mifamurtida

hidrógenofosfato de 2-[[*N*-(2*R*)-2-[(3*R,4R,5S,6R*)-3-(acetilamino)-2,5-dihidroxí-6-(hidroximetil)tetráhidro-2*H*-piran-4-iloxi]propanoil]-L-alanil-D-isoglutaminil-L-alanil]amino]etilo y de  
(2*R*)-2,3-bis(hexaniloxi)propilo**migalastatum**

migalastat

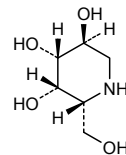
(2*R,3S,4R,5S*)-2-(hydroxymethyl)piperidine-3,4,5-triol

migalastat

(+)-(2*R,3S,4R,5S*)-2-(hydroxyméthyl)pipéridine-3,4,5-triol

migalastat

(2*R,3S,4R,5S*)-2-(hidroximetil)piperidina-3,4,5-triol

**mirodenafilum**

mirodenafil

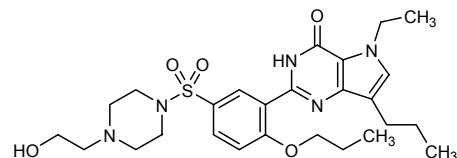
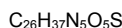
5-ethyl-2-(5-[[4-(2-hydroxyethyl)piperazin-1-yl]sulfonyl]-2-propoxyphenyl)-7-propyl-3,5-dihydro-4*H*-pyrrolo[3,2-*d*]pyrimidin-4-one

mirodéafil

5-éthyl-2-[5-[[4-(2-hydroxyéthyl)pipérazin-1-yl]sulfonyl]-2-propoxyphényle]-7-propyl-3,5-dihydro-4*H*-pyrrolo[3,2-*d*]pyrimidin-4-one

mirodenufilo

5-etyl-2-(5-{{[4-(2-hidroxietil)piperazin-1-il]sulfoni}l}-2-propoxifenil)-7-propil-3,5-dihidro-4*H*-pirrolo[3,2-*d*]pirimidin-4-oná

**motavizumabum\***

motavizumab

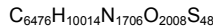
immunoglobulin G1, anti-(human respiratory syncytial virus glycoprotein F) humanized monoclonal MEDI-524; gamma1 heavy chain [humanized VH (*Homo sapiens* FR/*Mus musculus* CDR)-*Homo sapiens* IGHG1] (223-213')-disulfide with kappa light chain [humanized V-KAPPA (*Homo sapiens* FR/*Mus musculus* CDR)-*Homo sapiens* IGKC]; (229-229":232-232")-bisdisulfide dimer

motavizumab

immunoglobuline G1, anti-(glycoprotéine de fusion du virus syncytial respiratoire humain) anticorps monoclonal humanisé MEDI-524; chaîne lourde gamma1 [VH humanisé (*Homo sapiens* FR/*Mus musculus* CDR)-*Homo sapiens* IGHG1] (223-213')-disulfure avec la chaîne légère kappa [V-KAPPA humanisé (*Homo sapiens* FR/*Mus musculus* CDR)-*Homo sapiens* IGKC]; dimère (229-229":232-232")-bisdisulfure

motavizumab

inmunoglobulina G1, anti-(glicoproteína de fusión del virus sincitial respiratorio humano) anticuerpo monoclonal humanizado MEDI-524; cadena pesada gamma1 [VH humanizada (*Homo sapiens* FR/*Mus musculus* CDR)-*Homo sapiens* IGHG1] (223-213')-disulfuro con la cadena ligera kappa [V-KAPPA humanizada (*Homo sapiens* FR/*Mus musculus* CDR)-*Homo sapiens* IGKC]; (229-229":232-232")-bisdisulfido dímero



$\gamma$ -I-Chain / Chaîne  $\gamma$ -I / Cadena  $\gamma$ -I

QVTLLRESGPA	LVKPTQTTLT	TCTFSGFSLS	TAGMSVGWIR	QPPGKALEWL	50
ADIWWDDKKH	YNPSLKDRLT	ISKDTSKNQV	VLKVTNMDPA	DTATYYCARD	100
MIFNFYFDVW	GOGTTTVTSS	ASTKGPSVPF	LAPSSKSTSG	GTAALGCLVK	150
DYFFEPVTWS	WNSGALTSGV	HTFPALVQSS	GLYSLSSVVT	VPSSSLGTQT	200
YICCNVNHKPS	NTKVDKRVEP	KSCDKTHCP	PCPAPELLGG	PSVFLFPKPK	250
KDTLMISRTP	EVTICVVVWDVS	HEDPEVKFNW	YVDGVEVHNNA	KTKPREEQYN	300
STYRVSRSVLT	VLHQDWLNCK	EYCKCVSNKA	LPAPIEKTTIS	KAKGQPREGQ	350
VYTLPSSREE	MTKNQVSLTC	LVKGFPYPSDI	AWEWESENQQP	ENNYKTTTPV	400
LDSLGSSFFLY	SKLTVDKSRW	QQGNVFSCSV	MHEALHNHYT	QKSLSLSPGK	450

$\kappa$  Chain / Chaîne  $\kappa$  / Cadena  $\kappa$

DIQMTQSPST	LSASVGDRTV	ITCSASSRVG	YMHWYQQKPG	KAPKLLIYDT	50'
SKLASGVPSR	FGSGSGTGF	TLTISQLPD	DFATYYCFQG	SGYPPTFFGG	100'
TKVEIKRTVA	APSVPFPPS	DEQLKSGTAS	VVCILNNFYP	REAKVQWKVD	150'
NALQSGNSQE	SVTEQDSKDS	TYSLSSLTTL	SKADYEHKVK	YACEVTHQGL	200'
SSPVTKSFNR	GEC				213'

Disulfide bridges location / Position des ponts disulfure / Posiciones de los puentes disulfuro  
 22°-97° 22°-97° 23°-87° 23°-87° 133°-193° 133°-193° 147-203 147°-203°  
 213°-223 213°-223° 229-229° 232-232° 264-324 264°-324° 370-428 370°-428°

**naproxacinodum**

naproxinod

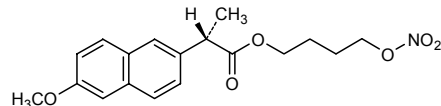
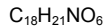
4-(nitrooxy)butyl (2S)-2-(6-methoxynaphthalen-2-yl)propanoate

naproxinod

(2S)-2-(6-méthoxynaphthalén-2-yl)propanoate de 4-(nitrooxy)butyle

naproxinod

(2S)-2-(6-metoxinaftalen-2-il)propanoato de 4-(nitrooxi)butilo



**omtriptolidum**  
omtriptolide

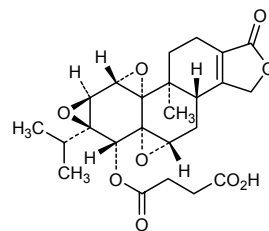
4-[(3bS,4aS,5aR,6R,6aS,7aS,7bS,8aS,8bS)-8b-methyl-6a-(propan-2-yl)-1-oxo-1,3,3b,4,4a,6,6a,7a,7b,8b,9,10-dodecahydrotrisoxireno= [4b,5:6,7:8a,9]phenanthro[1,2-c]furan-6-yl]oxy]-4-oxobutanoic acid

omtriptolide

acide 4-[(3bS,4aS,5aR,6R,6aS,7aS,7bS,8aS,8bS)-8b-méthyl-6a-(1-méthyléthyl)-1-oxo-1,3,3b,4,4a,6,6a,7a,7b,8b,9,10-dodécahydrotrisoxiréno[4b,5:6,7:8a,9]phénanthro[1,2-c]furan-6-yl]=oxy]-4-oxobutanoïque

omtriptolida

ácido 4-[(3bS,4aS,5aR,6R,6aS,7aS,7bS,8aS,8bS)-8b-metil-6a-(propan-2-yl)-1-oxo-1,3,3b,4,4a,6,6a,7a,7b,8b,9,10-dodecahidrotrisoxireno[4b,5:6,7:8a,9]fenantró[1,2-c]furan-6-yl]oxi}-4-oxobutanoico



**pafuramidinum**

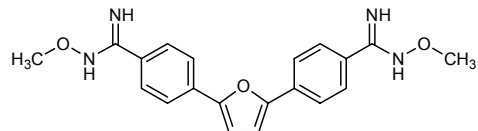
pafuramidine

4,4'-(furan-2,5-diy)bis(*N*-methoxybenzenecarboximidamide)

pafuramidine

4,4'-(furane-2,5-diy)bis(*N*-méthoxybenzène carboximidamide)

pafuramidina

4,4'-(furano-2,5-diil)bis(*N*-metoxibencenocarboximidamida)C<sub>20</sub>H<sub>20</sub>N<sub>4</sub>O<sub>3</sub>**pramiconazolum**

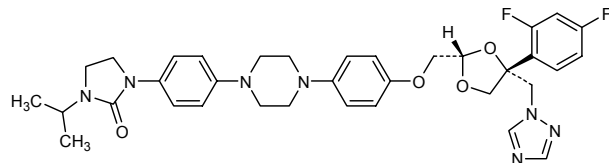
pramiconazole

1-[4-{4-[4-((2*S*,4*R*)-4-(2,4-difluorophenyl)-4-[(1*H*-1,2,4-triazol-1-yl)methyl]-1,3-dioxolan-2-yl]methoxy}phenyl]piperazin-1-yl]phenyl]-3-(propan-2-yl)imidazolidin-2-one

pramiconazole

(+)-1-[4-{4-[4-((2*S*,4*R*)-4-(2,4-difluorophényl)-4-[(1*H*-1,2,4-triazol-1-yl)méthyl]-1,3-dioxolan-2-yl]méthoxy]phényl]pipérazin-1-yl]phényl]-3-(1-méthyléthyl)imidazolidin-2-one

pramiconazol

1-[4-{4-[4-((2*S*,4*R*)-4-(2,4-difluorofenil)-4-[(1*H*-1,2,4-triazol-1-yl)metyl]-1,3-dioxolan-2-yl]metoxi}fenil]piperazin-1-il]fenil]-3-(propan-2-il)imidazolidin-2-onaC<sub>35</sub>H<sub>39</sub>F<sub>7</sub>N<sub>7</sub>O<sub>4</sub>**prinaberelum**

prinaberel

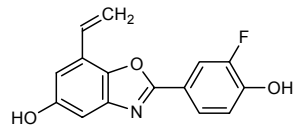
7-ethenyl-2-(3-fluoro-4-hydroxyphenyl)-1,3-benzoxazol-5-ol

prinabérel

7-éthényle-2-(3-fluoro-4-hydroxyphényle)-1,3-benzoxazol-5-ol

prinaberel

7-etenil-2-(3-fluoro-4-hidroxifenil)-1,3-benzoxazol-5-ol

C<sub>15</sub>H<sub>10</sub>FNO<sub>3</sub>

**rilonaceptum\***  
rilonacept

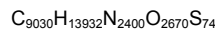
[653-glycine][human interleukin-1 receptor accessory protein-(1-339)-peptide (extracellular domain fragment) fusion protein with human type 1 interleukin-1 receptor-(5-316)-peptide (extracellular domain fragment) fusion protein with human immunoglobulin G1-(229 C-terminal residues)-peptide (Fc fragment)], (659-659':662-662')-bisdisulfide dimer

## rilonacept

(659-659':662-662')-bisdisulfure du dimère de la [653-glycine][protéine accessoire du récepteur de l'interleukine-1 humaine-(1-339)-peptide (fragment du domaine extracellulaire) protéine de fusion avec le récepteur de type I humain de l'interleukine-1-(5-316)-peptide (fragment du domaine extracellulaire) protéine de fusion avec l'immunoglobuline G1 humaine-(229 résidus C-terminaux)-peptide (fragment Fc)]

## rilonacept

(659-659':662-662')-bisdisulfuro del dímero de la [653-glicina][proteína accesoria del receptor de la interleukina-1 humana-(1-339)-péptido (fragmento del dominio extracelular) proteína de fusión con el receptor de tipo I humano de la interleukina-1-(5-316)-péptido (fragmento del dominio extracelular) proteína de fusión con la inmunoglobulina G1 humana-(229 restos C-terminales)-péptido (fragmento Fc)]



## Monomer / Monomère / Monómero

SERCDDWGLD	TMRQIQVFED	EPIARIKPLF	EHFLKFNYST	AHSAGLTLIWI	50
YWTRQRDRDLE	EPINFRLPEN	RISKEKDVLW	FRPTILLNDTG	NYTCMLRNNTT	100
YCSKVAFPLE	VVQKDSCFN	PMKLPVHKLY	IEYGIGRITC	PNVDGYFPSS	150
VKPTITWYMG	CYKIQNFFNNV	IPEGMNLSSFL	ITALISNNNGNY	TCVVTYPENG	200
RTFHLTTRTLT	VKVVGSPKNA	VPPVIHSPPND	HVVVEKEPGE	ELLIIPCIVYF	250
SFLMDSRNEV	WWTIIDGKKPD	DITIDVTINE	SISHSRTEDE	TRTQILSIKK	300
VTSEDLRKSY	VCHARSAKGE	VAKAAKVVKQK	VPAAPRYTVEK	CKEREEKIIIL	350
VSSANEIDVR	PCPLNPNEHK	GTITWYKDDS	KTPVSTEQAS	RJHQHKEKLW	400
FVPAKVEDSG	HYCCVVRNNS	YCLRIKISAK	FVENEPNLCY	NAQAIFKQKL	450
PVAGDGGGLVC	PYMEFFKKNEN	NELPKLQWYK	DCKPLLLDNI	HFSGVKDRLL	500
VMNVAEKHRG	NYTCHASYT	LGRQYIPITRV	IEFTITLEENK	PTRPVIVSPA	550
NETMEVDLGS	QIQLICNVVTG	QLSDIAWYW	NGSVIDEEDDP	VLGEDYYYSVE	600
NPANKRSTL	ITVNLNISEIE	SRFYKHPFTC	FAKNTHGIDA	AYIQLIYPVT	650
NSGDKTHTCP	PCPAPELLGG	PSVFLFPKPK	KDTLMISRTP	EVTCVVVDVS	700
HEDGPKPNW	YVDGVEVNHA	KTKPKEQQYN	STYRVVSVLT	VLHQDWLNKG	750
EYKCKVSNKA	LPAPIEKTTIS	KAKGQPREEQ	VYTLPBSRDE	LTKNQVSLTC	800
LVKGFYPSDI	AVEWESNGP	ENNYKTPPPV	LDSDGSSFFLY	SKLTVDKSRW	850
QQGNVFSCSV	MHEALHNHYT	QKSLSLSPGK			880

Disulfide bridges location / Position des ponts disulfure / Posiciones de los puentes disulfuro  
 4-102 4-102 27-94 27-94' 117-161 117-161' 140-192 140-192' 246-312  
 246-312' 341-422 341-422' 362-414 362-414' 339-482 339-482' 460-514 460-514'  
 566-630 566-630' 659-659' 662-662' 694-754 694-754' 800-858 800-858'

**rosabulinum**  
rosabulin

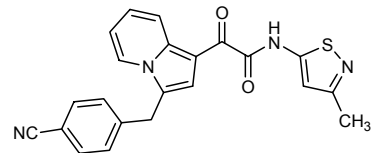
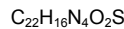
2-{3-[(4-cyanophenyl)methyl]indolizin-1-yl}-N-(3-methyl-1,2-thiazol-5-yl)-2-oxoacetamide

## rosabuline

2-[3-(4-cyanobenzyl)indolizin-1-yl]-N-(3-méthylisothiazol-5-yl)-2-oxoacétamide

## rosabulina

2-{3-[(4-cianofenil)metil]indolizin-1-il}-N-(3-metilisotiazol-5-il)-2-oxoacetamida

**sagopilorum**

sagopilone

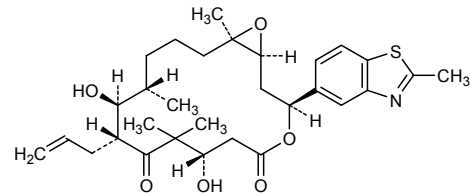
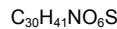
(1*S*,3*S*,7*S*,10*R*,11*S*,12*S*,16*R*)-7,11-dihydroxy-8,8,12,16-tetramethyl-3-(2-methyl-1,3-benzothiazol-5-yl)-10-(prop-2-enyl)-4,17-dioxabicyclo[14.1.0]heptadecane-5,9-dione

sagopilone

(-)-(1*S*,3*S*,7*S*,10*R*,11*S*,12*S*,16*R*)-7,11-dihydroxy-8,8,12,16-tétraméthyl-3-(2-méthyl-1,3-benzothiazol-5-yl)-10-(prop-2-ényl)-4,17-dioxabicyclo[14.1.0]heptadécane-5,9-dione

sagopilona

(1*S*,3*S*,7*S*,10*R*,11*S*,12*S*,16*R*)-7,11-dihidroxi-8,8,12,16-tetrametil-3-(2-metil-1,3-benzotiazol-5-il)-10-(prop-2-enil)-4,17-dioxobiciclo[14.1.0]heptadecano-5,9-diona

**sodelglitazarum**

sodelglitazar

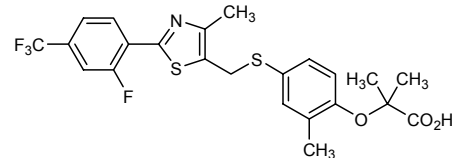
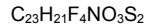
2-{4-[{(2-[2-fluoro-4-(trifluoromethyl)phenyl]-4-methyl-1,3-thiazol-5-yl)methyl}sulfanyl]-2-methylphenoxy}-2-methylpropanoic acid

sodelglitazar

acide 2-[4-[[[2-fluoro-4-(trifluorométhyl)phényl]-4-méthyl-1,3-thiazol-5-yl]méthyl]sulfanyl]-2-méthylphénoxy]-2-méthylpropanoïque

sodelglitazar

ácido 2-{4-[(2-[2-fluoro-4-(trifluorometil)fenil]-4-metil-1,3-tiazol-5-il)metyl]sulfanil}-2-metilfenoxi)-2-metilpropanoico



**sofigatranum**  
sofigatran

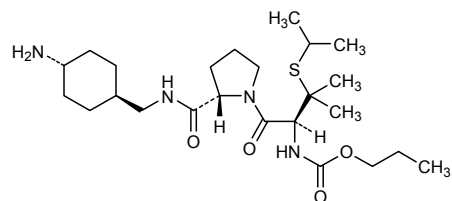
propyl {(1*S*)-1-{[(2*S*)-2-[(*trans*-4-aminocyclohexylmethyl)carbamoyl]pyrrolidine-1-carbonyl]-2-methyl-2-[(propan-2-yl)sulfanyl]propyl}=carbamate

## sofigatran

[(1*S*)-1-[(2*S*)-2-[(*trans*-4-aminocyclohexyl)méthyl]carbamoyl]pyrrolidin-1-yl]carbonyl]-2-méthyl-2-[(1-méthyléthyl)sulfanyl]propyl=carbamate de propyle

## sofigatrán

[(1*S*)-1-[(2*S*)-2-[(*trans*-4-aminociclohexil)metil]carbamoi]pyrrolidin-1-il]carbonil]-2-metil-2-[(propan-2-il)sulfanil]propil]carbamato de propilo

**succinobucolum**  
succinobucol

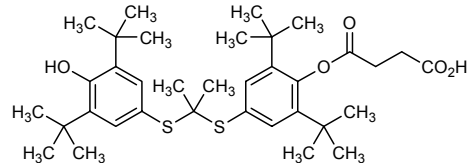
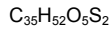
4-{4-[(2-{{[3,5-di(*tert*-butyl)-4-hydroxyphenyl}sulfanyl}propan-2-yl)=sulfanyl]-2,6-di(*tert*-butyl)phenoxy}-4-oxobutanoic acid

## succinobucol

acide 4-{4-[[1-{{[3,5-bis(1,1-diméthyléthyl)-4-hydroxyphényl}sulfanyl]-1-méthyléthyl}sulfanyl]-2,6-bis(1,1-diméthyléthyl)phénoxy]-4-oxobutanoïque}

## succinobucol

ácido 4-{4-[(2-{{[3,5-di(*terc*-butil)4-hidroxifenil}sulfanil}propan-2-il)=sulfanil]-2,6-di(*terc*-butil)fenoxi)-4-oxobutanoico}

**taribavirinum**  
taribavirin

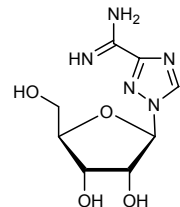
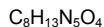
1-β-D-ribofuranosyl-1*H*-1,2,4-triazole-3-carboximidamide

## taribavirine

1-β-D-ribofuranosyl-1*H*-1,2,4-triazole-3-carboximidamide

## taribavirina

1-β-D-ribofuranosil-1*H*-1,2,4-triazol-3-carboximidamida



**tezampanelum**  
tezampanel

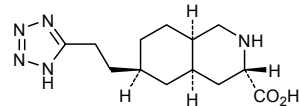
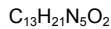
(3*S*,4*aR*,6*R*,8*aR*)-6-[2-(1*H*-tetrazol-5-yl)ethyl]decahydroisoquinoline-3-carboxylic acid

tézampanel

(-)-acide (3*S*,4*aR*,6*R*,8*aR*)-6-[2-(1*H*-tétrazol-5-yl)éthyl]=décahydroisoquinoléine-3-carboxylique

tezampanel

(-)-ácido (3*S*,4*aR*,6*R*,8*aR*)-6-[2-(1*H*-tetrazol-5-il)etyl]=decahidroisoquinolina-3-carboxílico



**ticagrelorum**  
ticagrelor

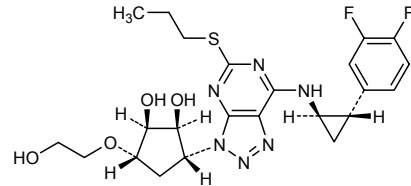
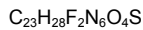
(1*S*,2*S*,3*R*,5*S*)-3-[7-[(1*R*,2*S*)-2-(3,4-difluorophenyl)cyclopropyl]=amino]-5-(propylsulfanyl)-3*H*-[1,2,3]triazolo[4,5-*d*]pyrimidin-3-yl]-5-(2-hydroxyethoxy)cyclopentane-1,2-diol

ticagrélor

(1*S*,2*S*,3*R*,5*S*)-3-[7-[(1*R*,2*S*)-2-(3,4-difluorophényl)cyclopropyl]=amino]-5-(propylsulfanyl)-3*H*-[1,2,3]triazolo[4,5-*d*]pyrimidin-3-yl]-5-(2-hydroxyéthoxy)cyclopentane-1,2-diol

ticagrelor

(1*S*,2*S*,3*R*,5*S*)-3-(7-[(1*R*,2*S*)-2-(3,4-difluorofenil)ciclopropil]amino)-5-(propilsulfanil)-3*H*-[1,2,3]triazolo[4,5-*d*]pirimidin-3-il)-5-(2-hidroxietoxi)ciclopentano-1,2-diol



**tigapotidum**  
tigapotide

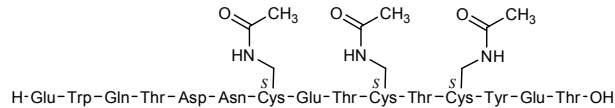
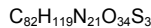
L-glutamyl-L-tryptophyl-L-glutaminyl-L-threonyl-L-aspartyl-L-asparaginyl-S-[(acetamido)methyl]-L-cysteinyl-L-glutamyl-L-threonyl-S-[(acetamido)methyl]-L-cysteinyl-L-threonyl-S-[(acetamido)methyl]-L-cysteinyl-L-tyrosyl-L-glutamyl-L-threonine

## tigapotide

S<sup>37</sup>-S<sup>40</sup>,S<sup>42</sup>-tris[(acétylamino)méthyl]bêta-microséminoprotéine humaine (protéine PSP94 sécrétée par la prostate)-(31-45)-peptide

## tigapotida

S<sup>37</sup>-S<sup>40</sup>,S<sup>42</sup>-tris[(acetylilamino)metil]beta-microseminoproteína humana (proteína PSP94 secretada por la próstata)-(31-45)-péptido

**tipelukastum**  
tipelukast

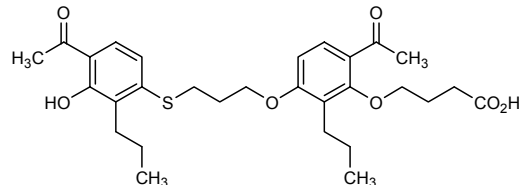
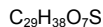
4-(6-acetyl-3-{3-[(4-acetyl-3-hydroxy-2-propylphenyl)sulfanyl]=propoxy}-2-propylphenoxy)butanoic acid

## tipélukast

acide 4-[6-acétyl-3-{3-[(4-acétyl-3-hydroxy-2-propylphényl)sulfanyl]=propoxy}-2-propylphénoxy]butanoïque

## tipelukast

ácido 4-[6-acetil-3-{3-[(4-acetil-3-hidroxi-2-propilfenil)sulfanil]=propoxi]-2-propilfenoxi]butanoico

**tomopenenum**  
tomopenem

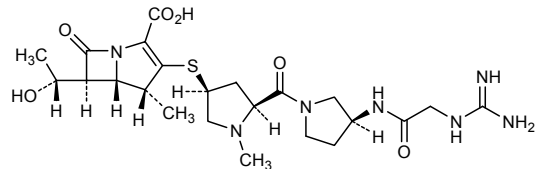
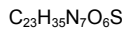
(4R,5S,6S)-3-{{(3S,5S)-5-[(3S)-3-(carbamimidamidoacetamido)=pyrrolidine-1-carbonyl]-1-methylpyrrolidin-3-yl}sulfanyl}-6-[(1R)-1-hydroxyethyl]-4-methyl-7-oxo-1-azabicyclo[3.2.0]hept-2-ene-2-carboxylic acid

## tomopénem

(-)acide (4R,5S,6S)-3-[[{(3S,5S)-5-[(3S)-3-[(carbamimidoylamino)=acétyl]amino]pyrrolidin-1-yl]carbonyl]-1-méthylpyrrolidin-3-yl]=sulfanyl]-6-[(1R)-1-hydroxyéthyl]-4-méthyl-7-oxo-1-azabicyclo[3.2.0]=hept-2-ène-2-carboxylique

## tomopenem

ácido (4R,5S,6S)-3-{{(3S,5S)-5-((3S)-3-(carbamimidamidoacetamido)pirrolidin-1-il)carbonil}-1-metilpirrolidin-3-il}sulfanil]-6-[(1R)-1-hidroxietil]-4-metil-7-oxo-1-azabiciclo[3.2.0]=hept-2-eno-2-carboxílico



**tylvalosinum**  
tylvalosin

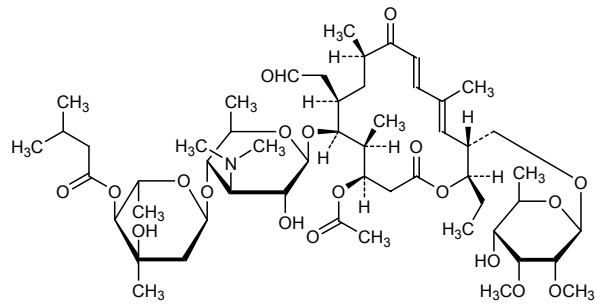
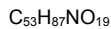
(4*R*,5*S*,6*S*,7*R*,9*R*,11*E*,13*E*,15*R*,16*R*)-15-{{[(6-deoxy-2,3-di-O-methyl- $\beta$ -D-allopyranosyl)oxy]methyl}-6-{(3,6-dideoxy-4-O-[2,6-dideoxy-3-C-methyl-4-O-(3-methylbutanoyl)- $\alpha$ -L-ribo-hexopyranosyl]-3-(dimethylamino)- $\beta$ -D-glucopyranosyl]oxy}-16-ethyl-5,9,13-trimethyl-2,10-dioxo-7-(2-oxoethyl)oxacyclohexadeca-11,13-dien-4-yl acetate

## tylvalosine

(-)acétate de (4*R*,5*S*,6*S*,7*R*,9*R*,11*E*,13*E*,15*R*,16*R*)-15-{{[(6-désoxy-2,3-di-O-méthyl- $\beta$ -D-allopyranosyl)oxy]méthyl}-6-{[3,6-didésoxy-4-O-[2,6-didésoxy-3-C-méthyl-4-O-(3-méthylbutanoyl)- $\alpha$ -L-ribo-hexopyranosyl]-3-(diméthylamino)- $\beta$ -D-glucopyranosyl]oxy}-16-éthyl-5,9,13-triméthyl-2,10-dioxo-7-(2-oxoéthyl)oxacyclohexadéca-11,13-dién-4-yile

## tilvalosina

(-)acetato de (4*R*,5*S*,6*S*,7*R*,9*R*,11*E*,13*E*,15*R*,16*R*)-15-{{[(6-desoxi-2,3-di-O-metil- $\beta$ -D-alopiranosil)oxi]metil}-6-{[3,6-didesoxi-4-O-[2,6-didesoxi-3-C-metil-4-O-(3-metilbutanoil)- $\alpha$ -L-ribo-hexopiranosil]-3-(dimetilamino)- $\beta$ -D-glucopiranosil]oxi}-16-etyl-5,9,13-trimetil-2,10-dioxo-7-(2-oxoetil)oxaciclohexadeca-11,13-dien-4-ilo



**vabicaserinum**  
vabicaserin

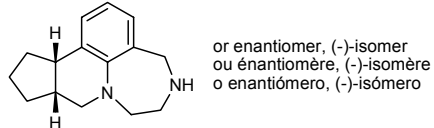
(9a*R*<sup>\*</sup>,12a*S*<sup>\*</sup>)-4,5,6,7,9,9a,10,11,12,12a-decahydrocyclopenta[c][1,4]diazepino[6,7,1-*j*]quinoline

## vabicasérine

(-)-(9a*R*<sup>\*</sup>,12a*S*<sup>\*</sup>)-4,5,6,7,9,9a,10,11,12,12a-décahydrocyclopenta[c][1,4]diazepino[6,7,1-*j*]quinoléine

## vabicaserina

(-)-(9a*R*<sup>\*</sup>,12a*S*<sup>\*</sup>)-4,5,6,7,9,9a,10,11,12,12a-decahidrociclopenta[c][1,4]diazepino[6,7,1-*j*]quinolina


**vapitadinum**  
 vapitadine

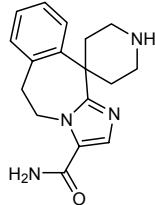
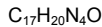
5,6-dihydrospiro(imidazo[2,1-*b*][3]benzazepine-11,4'-piperidine)-3-carboxamide

## vapitadine

5,6-dihydrospiro[11*H*-imidazo[2,1-*b*][3]benzazépine-11,4'-pipéridine]-3-carboxamide

## vapitadina

5,6-dihidrospiro(11*H*-imidazo[2,1-*b*][3]benzazepina-11,4'-piperidina)-3-carboxamida


**veliflaponum**  
 veliflapon

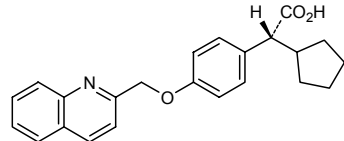
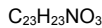
(2*R*)-cyclopentyl{4-[(quinolin-2-yl)methoxy]phenyl}acetic acid

## véliflapon

(+)-acide (2*R*)-cyclopentyl[4-(quinoléin-2-ylméthoxy)phényl]acétique

## veliflapón

(+)-ácido (2*R*)-ciclopentil[4-(quinolin-2-ilmetoxi)fénil]acético


**volinanserimum**  
 volinanserin

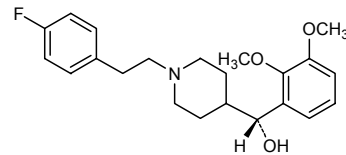
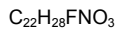
(*R*)-(2,3-dimethoxyphenyl){1-[2-(4-fluorophenyl)ethyl]piperidin-4-yl}=methanol

## volinansérine

(+)-(R)-(2,3-diméthoxyphényl)[1-[2-(4-fluorophényl)éthyl]pipéridin-4-yl]méthanol

## volinanserina

(+)-(R)-(2,3-dimetoxifenil)[1-[2-(4-fluorofenil)etil]piperidin-4-il]metanol



**AMENDMENTS TO PREVIOUS LISTS  
MODIFICATIONS APPORTÉES AUX LISTES ANTÉRIEURES  
MODIFICACIONES A LAS LISTAS ANTERIORES**

**Recommended International Non Proprietary Names (Rec. INN): List 53**  
**Dénominations communes internationales recommandées (DCI Rec.): Liste 53**  
**Denominaciones Comunes Internacionales recomendadas (DCI Rec.): Lista 53**  
*(WHO Drug Information, Vol. 19, No. 1, 2005)*

p. 80	<b>gantacurium chloridum</b>	<i>delete/supprimer/suprímase</i> <i>insert/insérer/insertése</i> gantacurii chloridum
p. 88	<b>panitumumabun</b> panitumumab panitumumab panitumumab	<i>replace the molecular formula by the following</i> <i>remplacer la formule brute par la suivante</i> <i>sustitúyase la fórmula molecular por la siguiente</i>



p. 88	<b>pelitinibum</b> pelitinib	<i>sustitúyase el nombre químico por el siguiente:</i> <i>(2E)-N-[3-ciano-4-[(3-cloro-4-fluorofenil)amino]-7-etoxiquinolin-6-il]-4-(dimetilamino)-2-butenamina</i>
-------	---------------------------------	---

**Recommended International Non Proprietary Names (Rec. INN): List 55**  
**Dénominations communes internationales recommandées (DCI Rec.): Liste 55**  
**Denominaciones Comunes Internacionales recomendadas (DCI Rec.): Lista 55**  
*(WHO Drug Information, Vol. 20, No. 1, 2006)*

p. 45	<b>suprimáse</b> nebicapone	<i>insérese</i> nebicapona
-------	--------------------------------	-------------------------------

\* Electronic structure available on Mednet: <http://mednet.who.int/>

\* Structure électronique disponible sur Mednet: <http://mednet.who.int/>

\* Estructura electrónica disponible en Mednet: <http://mednet.who.int/>

**Procedure and Guiding Principles / Procédure et Directives / Procedimientos y principios generales**

The text of the *Procedures for the Selection of Recommended International Nonproprietary Names for Pharmaceutical Substances* and *General Principles for Guidance in Devising International Nonproprietary Names for Pharmaceutical Substances* will be reproduced in proposed INN lists only.

Les textes de la *Procédure à suivre en vue du choix de dénominations communes internationales recommandées pour les substances pharmaceutiques* et des *Directives générales pour la formation de dénominations communes internationales applicables aux substances pharmaceutiques* seront publiés seulement dans les listes des DCI proposées.

El texto de los *Procedimientos de selección de denominaciones comunes internacionales recomendadas para las sustancias farmacéuticas* y de los *Principios generales de orientación para formar denominaciones comunes internacionales para sustancias farmacéuticas* aparece solamente en las listas de DCI propuestas.